

# ウェーブレット基底を用いる曲線当てはめについて

柳川 実

## Study of curve fitting based on wavelet theory

Minoru Yanagawa

### Abstract

In this paper, we investigate methods for accurately fitting a given discrete dataset with a continuous curve. The first part of the paper deals with the use of the discrete Fourier transform (DFT), and we show that the DFT exemplifies effectiveness in the study of curve fitting. In addition, we apply the least squares method together with the DFT for higher frequency components in the Fourier decomposition of the data in order to improve the accuracy of the DFT. We actually develop a new algorithm to solve this problem. In the second part of the paper, we investigate the effectiveness of wavelet theory for use in curve fitting. We focus on the Haar wavelet, and its use in the construction of a basis for a vector space. In an attempt to improve some aspects of the Haar wavelet, particularly for those emerging at lower resolutions, we apply the DFT to the higher frequency components of the subband decomposition of the data, and obtain a new algorithm for curve fitting based on wavelet theory.

**Key words** : curve fitting, discrete Fourier transform, Haar wavelet, methods of least squares

## 1. 緒 言

先の論文<sup>1,2)</sup>では、与えられた時系列的データに対して、1階微分係数と2階微分係数が小さい曲線当てはめの問題を考え、一つの解として、「イプシロン当てはめ数列」、「マイルドイプシロン当てはめ数列」を導くアルゴリズムを与えた。

今回はデータに対して曲線当てはめを行う際、特別な波の重ね合わせを用いる方法を採用する。

観測値の振舞いが、多数の振動数を持つ波形の混成であるという考え方が古くからあり、今でも盛んに論じられている。

本論文前半では、波形としてそれ程高くない周波数を持つ三角関数を用いる。即ち、離散フーリエ解析的近似によるデータの曲線当てはめを行う。

後半では、三角関数に代わる波形としてハールウェーブレットを採用する。規則的に構成された小さなウェーブレット波形を統合することにより、データに近い曲線が導かれるのである。

## 2. サンプル

最初に、先の論文<sup>1,2)</sup>で提案されている曲線当てはめの方法と比較するために、表1のデータ対 $(t, x)$ を考える。

表1 データの対 $(t, x)$

$t$	0	1	2	3	4	5
$x$	0	2.2	4	5	7	7
$t$	6	7	8	9	10	
$x$	6	6	4	1.9	0	

図1は表1のデータの散布図である。

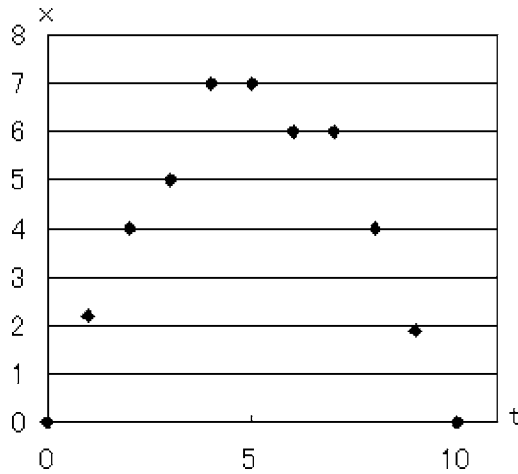


図1 データの対  $(t, x)$

### 3. 離散フーリエ曲線当てはめ

正整数  $N$  をとり,  $W = \exp\left(\frac{2\pi i}{N}\right)$  とおく。  
 フーリエ基底  $\{E_k\}_{k=0}^{N-1}$  はベクトル

$$E_k = \frac{1}{\sqrt{N}} \begin{pmatrix} 1 \\ W^k \\ \vdots \\ W^{(N-1)k} \end{pmatrix}$$

により構成される。フーリエ基底の実部を再び  $\{E_k\}_{k=0}^{N-1}$  とかく。

各基底に対するフーリエ係数の実部  $\hat{x}$  を次に計算する。

$$\hat{x} = \begin{pmatrix} \hat{x}_0 \\ \hat{x}_1 \\ \hat{x}_2 \\ \hat{x}_3 \\ \hat{x}_4 \\ \hat{x}_5 \\ \hat{x}_6 \\ \hat{x}_7 \\ \hat{x}_8 \\ \hat{x}_9 \end{pmatrix} = \begin{pmatrix} 13.629 \\ -4.7837 \\ -0.97624 \\ -0.57639 \\ -0.30449 \\ -0.34785 \\ -0.30449 \\ -0.57639 \\ -0.97624 \\ -4.7837 \end{pmatrix}$$

ベクトル  $\hat{x}$  と  $\{E_k\}_{k=0}^{N-1}$  により離散フーリエの展開を計算する。表2は得られた数列  $\tilde{x}$  であ

る。これを離散フーリエ曲線当てはめと呼ぶ。

表2 フーリエ曲線当てはめ

$t$	0	1	2	3	4	5
$x$	0	2.2	4	5	7	7
$\tilde{x}$	0	2.05	4	5.5	6.5	7
$t$	6	7	8	9	10	
$x$	6	6	4	1.9	0	
$\tilde{x}$	6.5	5.5	4	2.05	0	

表2を次に図示する。

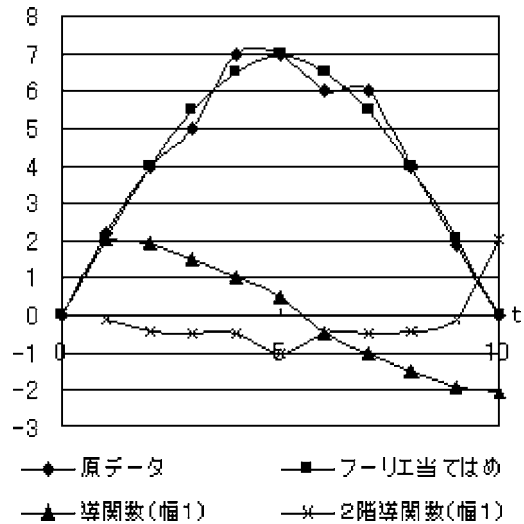


図2 フーリエ曲線当てはめ

離散フーリエ曲線当てはめが最小2乗法による曲線当てはめに比肩できる曲線当てはめの方法であることがわかる。

### 4. フーリエイプシロン当てはめ

各周波数にわたる  $\hat{x}$  の急激な変化を避けるため,  $\hat{x}$  にイプシロン当てはめを適用する。イプシロン当てはめ数列  $\xi$  は

$$\xi_i = \frac{\varepsilon \xi_{i-1} + \hat{x}_i}{\varepsilon + 1} \quad (i=1, \dots, 10)$$

により与えられる。

ベクトル $\xi$ に対して $\{E_k\}_{k=0}^N$ による離散フーリエの展開を考える。表3は、 $\epsilon=0.1$ の場合に得られた数列 $x_\epsilon$ である。これをフーリエイプシロン当てはめと呼ぶ。

表3 フーリエイプシロン当てはめ

$t$	0	1	2	3	4	5
$x$	0	2.2	4	5	7	7
$x_\epsilon$	0.57	2.6	4.2	5.3	6.0	6.3
$t$	6	7	8	9	10	
$x$	6	6	4	1.9	0	
$x_\epsilon$	6.0	5.3	4.2	2.7	0.57	

$\epsilon=0.05$ と $\epsilon=0.01$ の場合も同様に考えて、図3にデータのフーリエ曲線当てはめとフーリエイプシロン当てはめを図示する。

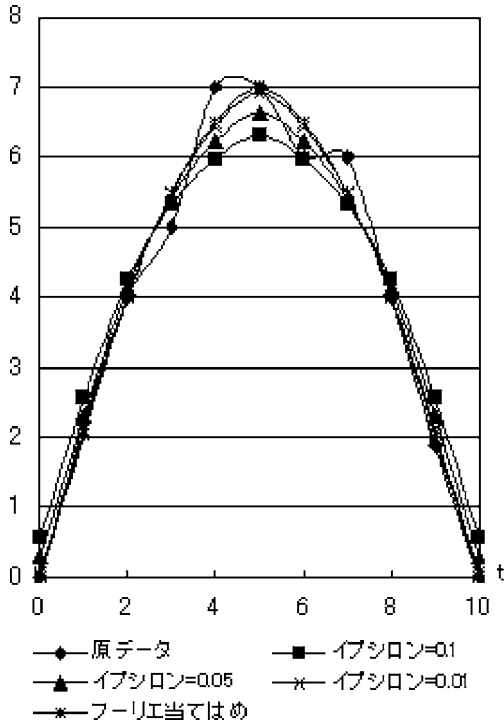


図3 フーリエイプシロン当てはめのイプシロン比較

次に、番号 $k=3, 4, 5, 6, 7$ を持つ $\hat{x}$ の成分に対してイプシロン当てはめを適用し、新たな係数 $\hat{\xi}$ を求める。 $\epsilon=0.1$ とする。係数 $\hat{\xi}$ とベクトル系 $\{E_k\}_{k=0}^N$ による展開を行うと、次のフーリエ高周波イプシロン当てはめ数列 $\hat{x}_\epsilon$ を得る。

表4 フーリエ高周波イプシロン当てはめ

$t$	0	1	2	3	4
$x$	0	2.2	4	5	7
$\hat{x}_\epsilon$	-0.16	2.17	3.96	5.48	6.54
$t$	5	6	7	8	9
$x$	7	6	6	4	1.9
$\hat{x}_\epsilon$	6.97	6.54	5.48	3.96	2.17

下図は上表を図示したものである。

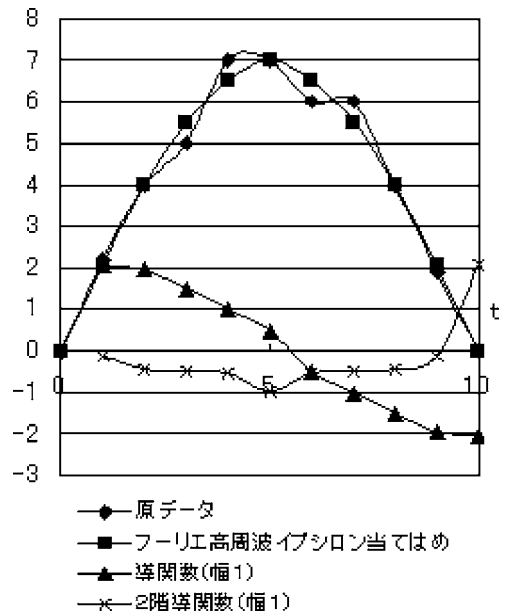


図4 フーリエ高周波イプシロン当てはめ

## 5. ハールウェーブレット

ハールスケールリングフィルタ

$$\frac{1}{\sqrt{2}}(1 \ 1 \ 0 \ \dots \ 0)^T$$

とハールウェーブレットフィルタ

$$\frac{1}{\sqrt{2}}(1 \ -1 \ 0 \ \dots \ 0)^T$$

が構成する多重解像度解析を明らかにすることにより，離散ウェーブレット変換は

$$\frac{1}{2\sqrt{2}} \begin{pmatrix} 1 & 1 & 1 & 1 & 1 & 1 & 1 & 1 \\ 1 & 1 & 1 & 1 & -1 & -1 & -1 & -1 \\ \sqrt{2} & \sqrt{2} & -\sqrt{2} & -\sqrt{2} & 0 & 0 & 0 & 0 \\ 0 & 0 & 0 & 0 & \sqrt{2} & \sqrt{2} & -\sqrt{2} & -\sqrt{2} \\ 2 & -2 & 0 & 0 & 0 & 0 & 0 & 0 \\ 0 & 0 & 2 & -2 & 0 & 0 & 0 & 0 \\ 0 & 0 & 0 & 0 & 2 & -2 & 0 & 0 \\ 0 & 0 & 0 & 0 & 0 & 0 & 2 & -2 \end{pmatrix}$$

である。

表5のデータに対してハール離散ウェーブレット変換を行う。

表5 データの対  $(t, x)$

$t$	0	1	2	3	4	5	6	7
$x$	2.2	4	5	7	6	6	4	1.9

図5は上表の散布図である。

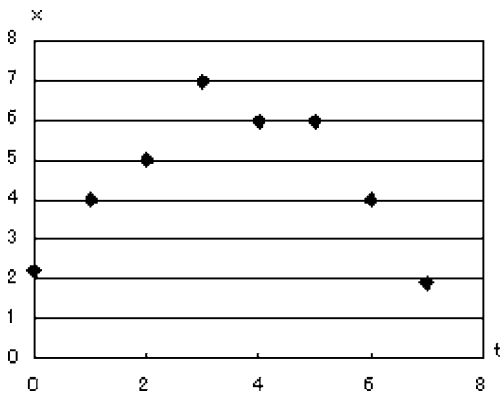


図5 データの対  $(t, x)$

## 6. ウェーブレットイプシロン当てはめ

表5のデータに対して，ウェーブレット変換を用いて，レベル3までのサブバンド信号を求め。

表6 サブバンド信号

No.	G1	H1	H2	H3
0	4.51	0.038	-1.45	-0.9
1	4.51	0.038	-1.45	0.9
2	4.51	0.038	1.45	-1
3	4.51	0.038	1.45	1
4	4.51	-0.038	1.53	0
5	4.51	-0.038	1.53	0
6	4.51	-0.038	-1.53	1.05
7	4.51	-0.038	-1.53	-1.05

レベル3のサブバンド信号に対してイプシロン当てはめを行う。ただし， $\epsilon=0.5$ の場合をここでは考える。

レベル3のイプシロン当てはめ数列を用いてデータを復元する。復元されたデータを  $\tilde{x}_\epsilon$  とかく。 $\tilde{x}_\epsilon$  をウェーブレットイプシロン当てはめと呼ぶ。

表7 ウェーブレットイプシロン当てはめ

$t$	0	1	2	3
$x$	2.2	4	5	7
$\tilde{x}_\epsilon$	2.2	3.4	5.433	6.477
$t$	4	5	6	7
$x$	6	6	4	1.9
$\tilde{x}_\epsilon$	6.159	6.053	3.667	2.489

図6は表7を図示したものである。

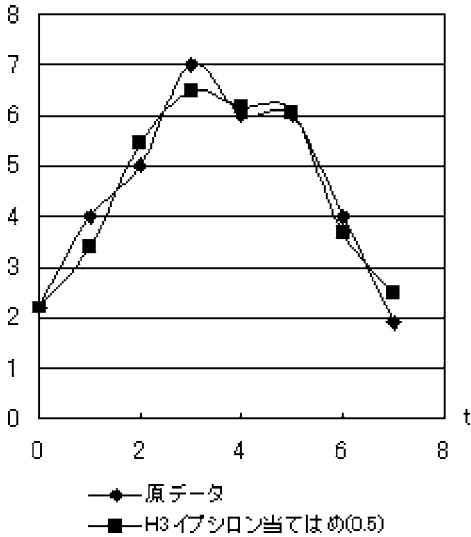


図6 ハールイプシロン当てはめ

## 7. ウェーブレット・フーリエイプシロン当てはめ

ウェーブレットイプシロン当てはめが十分な曲線当てはめであるためには、高位階層の多重解像度解析を必要とする。このことは、現実的計算処理に困難を与える。

ベクトル系  $\{E_k\}_{k=0}^7$  によるフーリエイプシロン当てはめをレベル3のサブバンド信号に適用する。 $\epsilon=0$ ,  $\epsilon=0.5$ ,  $\epsilon=1$ ,  $\epsilon=-0.05$  のそれぞれの場合に対して、4節のフーリエイプシロン当てはめを計算する。結果を図7に図示する。

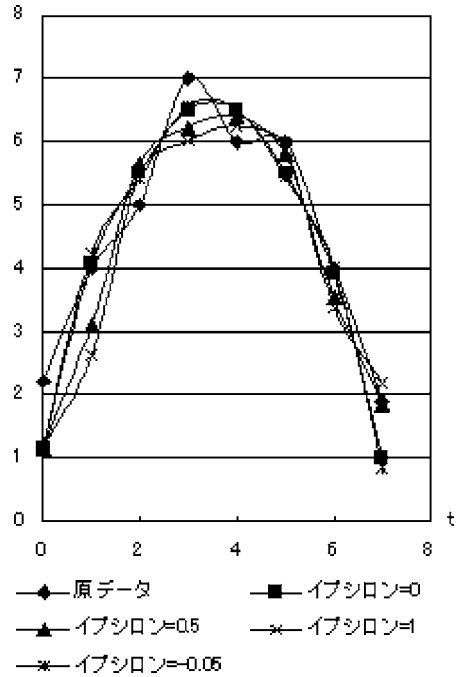


図7 ウェーブレット・フーリエイプシロン当てはめのイプシロン比較

## 8. 結 言

表1のデータに対してフーリエイプシロン当てはめ、フーリエ高周波イプシロン当てはめを行った。最小2乗法とは異質な、フーリエ変換の構造に手を加える当てはめ手法である。興味のある結果が得られている。6節では、単純な波形の逐次累積であるハールウェーブレットを利用した。満足な曲線当てはめには、この単純さの代わりに、高位の多重解像度解析が必要であることが示された。計算量の少ない、フーリエ当てはめの簡便さに比肩しうるウェーブレット曲線当てはめアルゴリズムを構成するには、滑らかなウェーブレットの採用が必要になる。しかし、ハールウェーブレットがエッジ検出などの、データの特異位置の検出に有効に応用できることが図8を見て理解できる。7節のウェーブレット・フーリエイプシロン曲線当てはめについて調べてみると次のようになる。

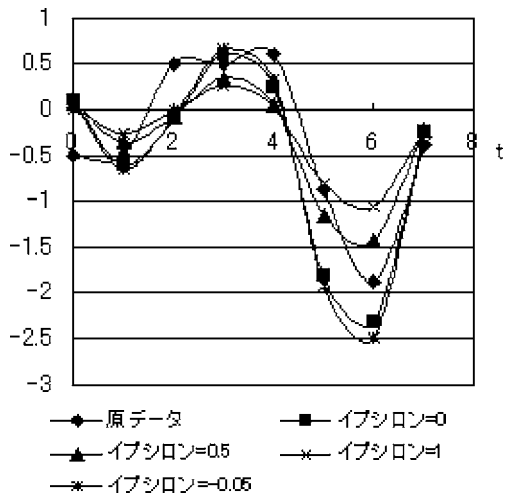


図8 ウェーブレット・フーリエイプシロン  
当てはめ曲線のエッジ抽出

イプシロンの値が大きくなるとエッジの程度が低くなる様子が見て取れる。そして、高エッジの場所はイプシロン値の変化に応じず不動である。

#### 文 献

- 1) 柳川実 (2007) 曲線あてはめに関する一考察. 日本大学歯学部紀要 35, 1-5
- 2) 柳川実 (2008) 曲率の小さい曲線あてはめに関する一考察. 日本大学歯学部紀要 36, 1-4
- 3) 前田肇, 佐野昭, 貴家仁志, 原晋介 (2001) ウェーブレット変換とその応用. 朝倉書店, 東京